

- [5] Petroff P. M., Lorimor O. G., Ralston J. M. // J. Appl. Phys. 1976. Vol. 47. N 4. P. 1583—1588.
- [6] Ferenzi G. // IEEE Trans. of Electron. Dev. 1981. Vol. ED-28. N 4. P. 421—424.
- [7] Hu S. H., Klepner S. M., Schwenker R. O. // J. Appl. Phys. 1976. Vol. 47. P. 4098—4106.
- [8] Способ стабилизации поверхности приборов. Чертеж Японии 95 (5) С23 № 42-24543 от 19.04.67. Изобретения за рубежом. 1972. № 9. С. 141.
- [9] Невский О. Б., Федоров В. А. // Электронная техника. Сер. 2. Полупроводниковые приборы. 1980. № 3. С. 45—56.
- [10] Луфт Б. Ф. Физико-химические методы обработки поверхности полупроводников. М.: Радио и связь, 1982. 136 с.
- [11] Черепин В. Т., Васильев М. А. Вторичная ионно-ионная эмиссия металлов и сплавов. Киев: Наукова думка, 1975. 238 с.
- [12] Ito R., Nakashima H., Nakada O. // Jap. J. Appl. Phys. 1974. Vol. 13. N 8. P. 1321—1322.
- [13] Берг А., Дип П. Светодиоды. М.: Мир, 1979. 686 с.

Институт полупроводников АН УССР  
Киев

Поступило в Редакцию  
24 ноября 1988 г.

45

Журнал технической физики, т. 59, в. 11, 1989

## ВЛИЯНИЕ СЛАБОГО МАГНИТНОГО ПОЛЯ НА КРИТИЧЕСКИЙ ТОК КЕРАМИКИ $\text{YBa}_2\text{Cu}_3\text{O}_{7-\delta}$

А. А. Буш, С. Н. Гордеев, А. А. Евдокимов, А. А. Жуков,  
М. И. Лазерь, Д. В. Шеломов

С момента открытия высокотемпературных сверхпроводников большое внимание уделяется изучению их токонесущей способности. В ряде работ [1, 2] была установлена сильная зависимость критической плотности тока  $j_c$  от слабого магнитного поля  $H$  в керамике  $\text{YBa}_2\text{Cu}_3\text{O}_{7-\delta}$ . Однако до настоящего времени не изучены особенности поведения  $j_c$  в различных интервалах магнитных полей, не определен вид функциональной зависимости  $j_c$  ( $H$ ), знание которого необходимо при расчетах токонесущей и экранирующей способностей изделий из этого материала.

Образцы  $\text{YBa}_2\text{Cu}_3\text{O}_{7-\delta}$  ( $\delta=0.1—0.2$ ) были синтезированы по обычной керамической технологии с многократным чередованием циклов гомогенизации и отжига. В зависимости от условий приготовления образцы имели температуру окончания сверхпроводящего перехода 91—94 К, плотность 40—90 % от рентгенографической и средний размер зерна  $\sim 10$  мк.

Измерения критического тока производились четырехзондовым методом в статическом режиме. Переход в резистивное состояние фиксировался по появлению напряжения 1 мкВ при расстоянии между потенциальными зондами  $\sim 3$  мм. Значение критической плотности тока  $j_c$  определялось отношением критического тока к сечению образца, имевшего форму цилиндра или параллелепипеда.

На рис. 1, а представлены зависимости  $j_c$  ( $H$ ) для двух образцов, полученных в одинаковых условиях, но отличающихся давлением прессования таблеток перед последним отжигом. Эти образцы характеризуются существенно различными значениями объемной и критической плотностей тока, однако зависимости  $j_c$  ( $H$ ) для них имеют подобный вид.

Установлено, что в магнитных полях  $H < 30$  Э зависимость  $j_c$  ( $H$ ) полностью обратима, но при воздействии магнитных полей большей напряженности возникает гистерезис, который приводит к необратимому уменьшению критического тока образца после вывода поля. На рис. 1, а также приведены значения критической плотности тока  $j_c$  (0) в зависимости от величины действовавшего на образец поля, эти данные получены в процессе последовательного увеличения  $H$ . Величина  $j_c$  (0) неизменна при  $H < 30$  Э, быстро уменьшается в области 30—300 Э и выходит на практически постоянное значение в больших полях.

Таким образом, приведенные результаты свидетельствуют о существовании трех областей магнитных полей, соответствующих различному поведению  $j_c$ . Учитывая, что границы этих областей совпадают для плотного и рыхлого образцов, сильно отличающихся размерами межгрануллярных пор и критическим межзеренным током, можно утверждать, что гистерезис зависимостей  $j_c$  ( $H$ ) связан с захватом магнитного потока внутрь керамических зерен. При

$H < H_{c1} \approx 30$  Э ( $T=77$  К) зерна находятся в состоянии мейснеровской фазы, а после превышения поля  $H_{c1}$  возникает движение магнитных вихрей внутрь керамических зерен, которое и приводит к появлению полевого гистерезиса, характерного для жестких сверхпроводников второго рода. Магнитное поле 200–300 Э соответствует полному проникновению магнитных вихрей в зерно. Это позволяет оценить внутризеренную плотность критического тока при  $T=77$  К  $j_c \sim 5 \cdot 10^5$  А/см<sup>2</sup> [3]. Такое поведение  $j_c(H)$  согласуется с результатами магнитных измерений [4].

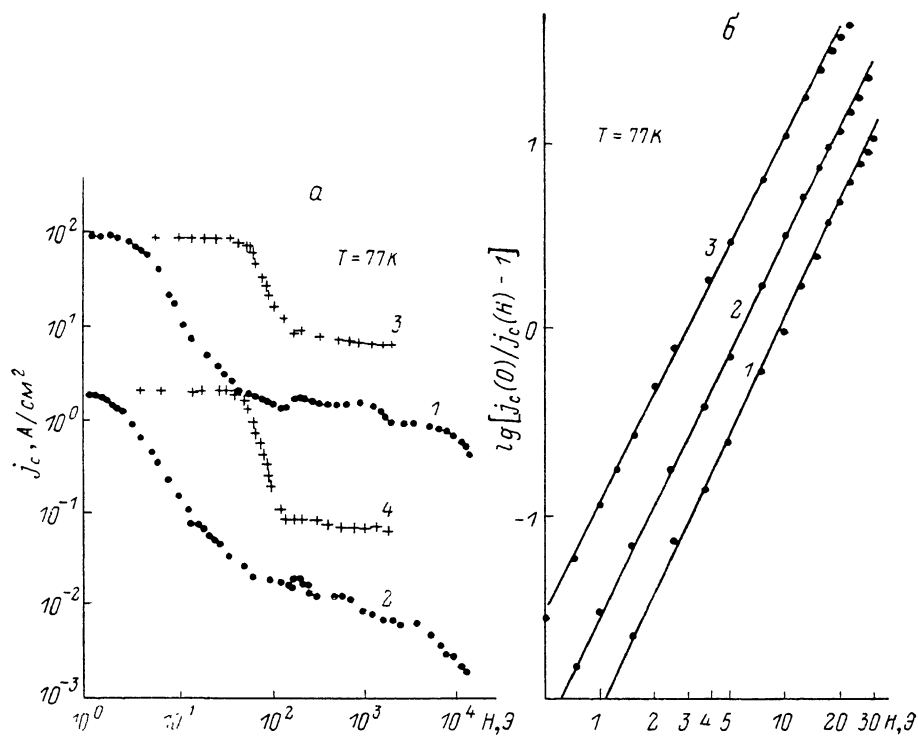


Рис. 1.

а — критические плотности тока в зависимости от приложенного магнитного поля ( $H \perp i$ ) (1, 2) и тока  $j_c(0)$  после вывода поля в зависимости от величины воздействовавшего поля  $H$  (3, 4); 1, 2 — первый ввод поля. Объемная плотность керамики, %: 1, 3 — 82, 2, 4 — 44. б — зависимости  $\lg [(j_c(0)/j_c(H)) - 1]$  от  $\lg H$ .  $j_c(0)$ , А/см<sup>2</sup>: 1 — 35, 2 — 93, 3 — 5.9; D, мм: 1 — 5.25, 2 — 1.1 (изготовлен из образца 1); 3 — сечение  $S = 2.6 \times 5.2$  мм.

Анализ полученных экспериментальных данных показал, что в безгистерезисной области  $H < 30$  Э экспериментальные зависимости  $j_c(H)$  хорошо описываются выражением

$$j_c(H) = \frac{j_c(0)}{1 + (H/\tilde{H}_0)^\alpha}. \quad (1)$$

Некоторые экспериментальные данные в соответствующем масштабе  $\lg [(j_c(0)/j_c(H)) - 1]$  от  $\lg H$  приведены на рис. 1, б. Они свидетельствуют, что зависимость (1) хорошо выполняется в широком диапазоне изменения  $j_c$ . Установлено, что параметр  $\alpha$  составляет  $\alpha = 2 \pm 0.1$ , а величина  $\tilde{H}_0$  лежит в интервале 3–14 Э для всех исследованных образцов (для которых  $1 < j_c(0) < 200$  А/см<sup>2</sup>) и медленно уменьшается при уменьшении критического тока и размеров образца.

Сильная зависимость  $j_c(H)$  приводит к еще одной особенности при токопереносе в керамике  $\text{YBa}_2\text{Cu}_3\text{O}_{7-\delta}$ . Установлено, что в исследованных образцах величина критической плотности тока, так же как и в сверхпроводниках первого рода, зависит от размеров образца. Как видно из рис. 2, с уменьшением диаметра цилиндрического образца  $j_c(0)$  возрастает и стремится к конечному значению. Анализ полученных данных свидетельствует, что такое поведение  $j_c(0)$  связано с влиянием собственного магнитного поля  $H_i$ , создаваемого протекающим через образец током, а предельное значение  $G = \lim_{H \rightarrow 0} j_c(0)$  соответствует токонесущей способности материала.

Действительно, можно предположить, что локальная критическая плотность тока описывается соотношением

$$j_c^{10K}(H) = \frac{G}{1 + \left(\frac{H}{H_0}\right)^2}. \quad (2)$$

Если внешнее поле отсутствует, то  $H=H_i$ . Величина поля  $H_i$  может быть рассчитана самосогласованным образом на основе выражения (для бесконечного цилиндрического образца)

$$H_i = \frac{1}{2\pi} \int \frac{j_c^{10K}(H_i)}{r^2} [nr] ds, \quad (3)$$

где  $n$  — единичный вектор в направлении тока.

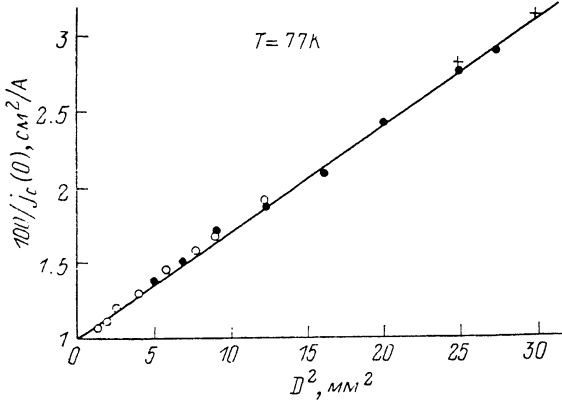


Рис. 2. Зависимость  $100j/j_c$  от квадрата диаметра цилиндрического образца.

Разные обозначения точек соответствуют различным сериям образцов, изготовленных из одной и той же керамической таблетки.

Решение системы (2), (3) зависит от соотношения полей  $H_i$  и  $H_0$ . При  $H_i \ll H_0$  оно может быть найдено разложением  $H_i$  по степеням  $r$ . Полученная в результате зависимость для цилиндрического образца

$$j_c(0) = \frac{G}{1 + \left(\frac{r}{r_0}\right)^2} \quad (4)$$

соответствует экспериментальной (рис. 2). Критический радиус  $r_0 = 2\sqrt{2}(H_0/G)$  разделяет области, где  $H_i \ll H_0$  — «тонкий образец» ( $r \ll r_0$ ) и  $H_i \gg H_0$ , что соответствует «толстому образцу» ( $r \gg r_0$ ). При  $H_i \gg H_0$  в знаменателе (2) можно пренебречь единицей, тогда мы получаем решение в явном виде

$$j_c(0) = (3/4)^{1/3} G (r_0/r)^{2/3}. \quad (5)$$

Таким образом, полученные результаты свидетельствуют, что при определении критической плотности тока в керамике  $\text{YBa}_2\text{Cu}_3\text{O}_{7-\delta}$  следует использовать «тонкие образцы» ( $r \ll r_0$ ) либо вводить поправку, учитывающую конечные размеры образца. При  $r \ll r_0$  изменение  $j_c(0)$ , согласно (4), становится пренебрежимо малым. Поэтому авторы работы [5] и не наблюдали такой зависимости у образцов с малым значением  $G$ . В то же время в работе [6] было обнаружено возрастание  $j_c(0)$  на порядок при уменьшении толщины сверхпроводящей ленты из  $\text{YBa}_2\text{Cu}_3\text{O}_{7-\delta}$  с  $G > 10^3 \text{ A/cm}^2$ .

В настоящее время еще неясен механизм межзеренного токопереноса в ВТСП керамике. Это пока не позволяет установить и микроскопическую природу зависимости  $j_c(H)$ , описываемой соотношением (2). Если согласно наиболее распространенным представлениям предположить, что межзеренные связи имеют джозефсоновский характер [1, 2], то возникновение зависимости (2) может быть связано со структурными флуктуациями слабых связей. Для этого случая, как показано в работе [7], характерна зависимость типа  $j_c \sim 1/H^2$ . Появление в ней параметра  $H_0$  можно связать с магнитным полем тока, протекающего через слабую связь. Если же предположить, что межзеренные связи имеют вид узких сверхпроводящих перемычек, близких по составу и свойствам к зернам, то причиной зависимости (2)

могут быть особенности поведения этих связей в майнеровской фазе [8]. Таким образом, этот вопрос, несомненно, нуждается в дальнейшем теоретическом и экспериментальном исследовании.

### Список литературы

- [1] Заваричкий Н. В., Заваричкий В. Н., Петров С. В., Юргенс А. А. // Письма в ЖЭТФ. 1987. Т. 46. Приложение. С. 23—26.
- [2] Yamada Y., Fukushima N., Nakayame S. et al. // Jap. J. Appl. Phys. 1987. Vol. 26. N 5. P. 865—866.
- [3] Bean C. P. // Rev. Mod. Phys. 1964. Vol. 36. N 1. P. 31—36.
- [4] Буш А. А., Гордеев С. Н., Дубенко И. С. и др. // Письма в ЖЭТФ. 1987. Т. 46. Приложение. С. 204—207.
- [5] Копелевич Я. В., Лежанов В. В., Сонин Э. Б., Сирников П. П. // ФТТ. 1988. Т. 30. Вып. 8. С. 2432—2436.
- [6] Okada M., Okayama A., Matsumoto T. et al. // Jap. J. Phys. 1988. Vol. 27. N 9. P. L1715—1717.
- [7] Янсон И. К. // ЖЭТФ. 1970. Т. 58. Вып. 5. С. 1497—1510.
- [8] Heaton J. W., Rose-Innes A. C. // Cryogenics. 1964. Vol. 4. P. 85—89.

Московский институт  
радиотехники, электроники и автоматики

Поступило в Редакцию  
10 ноября 1988 г.

07

Журнал технической физики, т. 59, в. 11, 1989

## ВОЛОКОННО-ОПТИЧЕСКИЕ ИНТЕРФЕРОМЕТРЫ ДЛЯ ФАЗОВЫХ ДАТЧИКОВ

А. Г. Бумшев, Е. М. Дианов, А. В. Кузнецов, О. Г. Охотников

Среди различных типов волоконно-оптических датчиков наиболее чувствительными являются те, в которых осуществляется модуляция оптической фазы. Роль преобразователя фазовой модуляции в амплитудную в таких датчиках выполняют волоконно-оптические интерферометры [1, 2].

В настоящей работе на основе связанных одномодовых волоконно-оптических кольцевых интерферометров реализованы схемы, которые могут применяться в волоконных датчиках. Использование многолучевых кольцевых интерферометров вместо традиционных интерферометров Маха—Цендера дает возможность увеличить чувствительность датчика за счет много-кратного прохождения излучения в измерительном кольце. Включение в схему наряду с измерительным кольцом также опорного кольца позволяет, во-первых, регистрировать изменение сигнала по двухлучевой схеме, наблюдая интерференцию волн, прошедших одинаковый оптический путь через первое и второе кольца ( $n_1 L_1 = n_2 L_2$ , где  $n_i$ ,  $L_i$  — количество проходов и оптическая длина  $i$ -го кольца, соответственно), и, во-вторых, использовать источники излучения с малой длиной когерентности [3].

На рис. 1, а приведена схема датчика на основе двух последовательных кольцевых интерферометров (1 — направленный ответвитель, 2 — фазовый модулятор или чувствительный элемент). Рассмотрим такое устройство в импульсном режиме, который позволяет работать с сигналом, прошедшем заданное количество проходов через интерферометр. Подавая на вход схемы отдельный импульс с амплитудой  $A$ , на выходе получим затухающую последовательность импульсов. Первый импульс (нулевой порядок  $n=0$ ) соответствует сквозному проходу, последующие импульсы ( $n > 0$ ) возникают из-за задержки в кольцевых интерферометрах. Амплитуда  $n$ -го импульса  $A_n$ , в случае, когда длины интерферометров  $L_1 \approx L_2$  имеют вид

$$A_0 = \gamma_1 \gamma_2 \sqrt{r_1 r_2} \exp i\chi (n=0), \\ A_n = \gamma_1 \gamma_2 \left\{ \sqrt{r_1} t_2 (r_2)^{(n-1)/2} \varepsilon_2^n + (r_1)^{(n-1)/2} t_1 \sqrt{r_2} \varepsilon_1^n + \right. \\ \left. + t_1 t_2 \sum_{m=1}^{n-1} (r_1)^{(m-1)/2} (r_2)^{(n-m-1)/2} \varepsilon_1^m \varepsilon_2^{n-m} \right\} \exp i\chi (n > 0). \quad (1)$$

Здесь  $r_i$ ,  $t_i$  — коэффициенты перекачки и прохождения ответвителя  $i$ -го интерферометра [4];  $\gamma_i$  — амплитудный коэффициент потерь [5];  $\varepsilon_i = \gamma_i \exp(i\beta L_i)$ , где  $\beta$  — постоянная распространения  $HE_{11}$ -моды одномодового волоконного световода (OBC);  $\chi$  — набег фазы на участке